

김 봉 흠  
김 왕 곤  
류 부 형  
김 응 조 \*

한양대학교  
경기 개방대  
한양대 대학원  
한양대 대학원

## 1. 서 론

폴리프로필렌은 무극성재료로서 합성과정이 비교적 용이하며, 비중이 0.91, 융점이 170°C, 유통전이온도가 -18°C이며 표면강도와 인장강도가 크고, 투명성도 우수한 특성이 있어 화학공업용품·필름 및 의료기기에 많이 쓰이고 있으며, 전기적 구조체 및 절연재료로서도 장래성이 밝다.

본 연구에서는 30°C 이상에서 나타나는 TSC의  $\alpha$  지이크에 대하여 그 발생원인을 검토 고찰하였으며, 활성화에너지 구하는데 있어서 오차가 많은 초기상승법보다 정확도가 높은 파형분리법을 이용하여 검토하고자 한다.

## 2. 본 론

본 실험에서는 조직양상을 I.R.로 검토한 두께 4.5mm의 아이소택틱 P.P 필름을 시료로 사용했으며, 직경 2cm의 원형으로 Silver paint를 도포하여 전극으로 이용했고,  $1 \times 10^3$  Torr의 진공중에서 바이어스 온도, 바이어스 전압, 송온 속도등을 변화시키면서 특성을 관찰하였다.

Reuben Chen에 의한 활성화에너지를 구하는 법의 개요는 다음과 같다.

최대지이크의 온도를  $T_m$ ,  $T_m/2$ 되는 부분에서 낮은 온도 부분을  $T_1$ , 높은 온도 부분을  $T_2$ 라고 하면, 활성화에너지를 구하는 경우,  $\tau$ ,  $\delta$ ,  $w$ 의 변수를 이용하여 구할 수 있으며 각 조건에 따라 first order kinetics와 second order kinetics로 구분이 된다.

(a)  $w$ 를 이용하는 경우

$w$ 가 온도에 독립:

$$\text{First order kinetics: } E_w = 2kT_m(1.25T_m/w - 1) \quad (1)$$

$$\text{Second order kinetics: } E_w = 2kT_m(2C_wT_m/w - 1) \quad (2)$$

$w$ 가 온도에 종속: ( $S = S''T^\alpha$ )

$$\text{First order kinetics: } E = 2kT_m[\frac{1}{\alpha}C_wT_m/w - (1 + \frac{1}{\alpha})] \quad (3)$$

$$\text{Second order kinetics: } E = 2kT_m[2C_wT_m/w - (1 + \frac{1}{\alpha})] \quad (4)$$

$T_m$ =최대 지이크 온도

$k = \text{Boltzmann 상수}$

$w = T_1$ 에서  $T_2$  까지의 속

$s = \text{Pre-exponential factor}$

$$C_w = \frac{wT_m}{\theta T_m}$$

$\eta_0 = \text{초기 속도}$

$\theta = \text{송온 속도}$

$\alpha = \text{상수} (-2 \sim 2)$

(b)  $\delta$ 를 이용하는 경우

$w$ 가 온도에 독립:

$$\text{First order kinetics: } E = C_\delta kT_m^2/\delta \quad (5)$$

$$\text{Second order kinetics: } E = C_\delta(2kT_m^2/\delta) - 2kT_m \quad (6)$$

$w$ 가 온도에 종속 ( $S = S''T^\alpha$ ):

$$\text{First order kinetics: } E = G_\delta kT_m^2/\delta - 2kT_m \quad (7)$$

$$\text{Second order kinetics: } E = C_\delta(2kT_m^2/\delta) - 2kT_m \quad (8)$$

$\delta = T_m$ 에서  $T_2$  까지의 속

$$G_\delta = \frac{\delta T_m}{\theta T_m}$$

$\theta T_m = T_m$ 에서 트랩된 캐리어의 속도

(c)  $\tau$ 를 이용하는 경우

$w$ 가 온도에 독립:

$$\text{First order kinetics: } E = 1.52kT_m^2/\tau - 1.58(2kT_m) \quad (9)$$

$$\text{Second order kinetics: } E = 1.81kT_m^2/\tau - 2(2kT_m) \quad (10)$$

$w$ 가 온도에 종속 ( $S = S''T^\alpha$ )

$$\text{First order kinetics: } E = 1.515kT_m^2/\tau - 2.58(2kT_m) \quad (11)$$

$$\text{Second order kinetics: } E = 1.81kT_m^2/\tau - (2 + \frac{1}{2}\alpha)(2kT_m) \quad (12)$$

$\tau = T_1$ 에서  $T_m$  까지의 속

위의 식들에 대해 일반식은 다음과 같이 쓰며

$$E = AC_\delta(\frac{kT_m^2}{\theta T_m}) - b(2kT_m) \quad (13)$$

식 (13)에서 활성화에너지를 구하기 위한 여러 공식의 상수는 다음과 같다.

|        | First order           |                |                    | Second order       |                |                    |
|--------|-----------------------|----------------|--------------------|--------------------|----------------|--------------------|
|        | $\tau$                | $\delta$       | $\omega$           | $\tau$             | $\delta$       | $\omega$           |
| A      | $c=1$                 | 1              | $c$                | 2                  | 2              | 4                  |
| $C_R$  | 0.885                 | 0.978          | 0.923              | 0.907              | 0.853          | 0.878              |
| $AC_R$ | 1.52                  | 0.978          | 2.52               | 1.813              | 1.70           | 3.54               |
| b      | $1.58 + \frac{1}{2}a$ | $\frac{1}{2}a$ | $1 + \frac{1}{2}a$ | $2 + \frac{1}{2}a$ | $\frac{1}{2}a$ | $1 + \frac{1}{2}a$ |

온도에 독립이고  $\tau, \delta, \omega$  중 2개를 이용할 경우 식(9) 또는 식(10) 중 선택할 때에 재트랩하는 확률과 재결합하는 확률이 같을 때나 재트랩하는 확률이 재결합하는 확률보다 클 경우 식(10)을 이용할 수 있다.

그림(1)은 바이어스 온도  $100^{\circ}\text{C}$ , 바이어스 시간 40분, 바이어스 전압 300V, 속온속도 5  $^{\circ}\text{C}/\text{min}$ 의 조건에서 관측된 TSC 피이크이며, 따라서 식(10)에 따라 활성화에너지 구하면 1.0 eV를 얻게 된다.

$$\begin{aligned} M_f &= \frac{m_m}{m_0} = \frac{1+\Delta}{2} \\ \Delta &= \frac{2kT_m}{E} \end{aligned} \quad \dots (14)$$

식(14)에 의하여  $M_f$ 를 구하면  $M_f = 0.529$ 가 나오므로 second order kinetics에 적용된다. 그러므로 그림(1)은 second order kinetics에 적용해서 정확한 활성화에너지를 구할 수 있다.

### 3. 결 론

본 연구에서는 바이어스 진압, 바이어스 온도, 바이어스 시간을 변화시켜가면서 TSC의 발생인인을 고찰했다.

$67^{\circ}\text{C}$  근방에서 발생하는 피이크는 분자쇄의 운동에 기인하며,  $110^{\circ}\text{C}$ 에서 융점 근방까지 발생하는 피이크들은 결정질과 부정질 사이에 트랩된 전하들이 완화되면서 나타나는 것으로 사료된다.

P-P에 대한 열자격전류의 피이크는 여러 개의 크고 작은 피이크가 존재하므로 자형분리법에 의해서 각각의 피이크에 해당하는 활성화에너지를 비교적 정확하게 구할 수 있었다.

### 4. 참고문헌

- 1) Reuven Chen; J. Appl. Phys. 48, 570, (1969).
- 2) R. Chen, Y. Kirsh; Analysis of Thermally Stimulated Process, Pergamon Press, (1981).
- 3) P. K. C. Pillai, G. K. Narula, A. K. Tripathi and R. G. Mendiratta; Phy. stat. sol. (a), 87, 849, (1981).
- 4) Chapiro; A Radiation Chemistry of Polymeric Systems, New York, (1962).

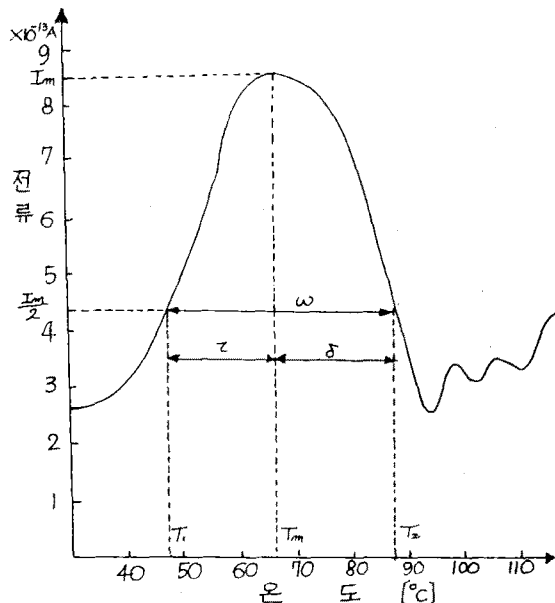


그림 [1]